

**Épreuve de Physique et Chimie
(toutes filières)**

Proposition de correction

ANALOGIES ET DIFFERENCES

PHYSIQUE I : Interprétation d'un mouvement dans deux référentiels

A - Etude dans le référentiel R du laboratoire :

A-1 Les forces sont : le poids, la réaction et la force élastique.
Le poids et la réaction du support se compensent.

$\frac{d\vec{L}_o}{dt} = \vec{OM} \wedge \vec{f} = \vec{0}$: Il y a conservation du moment cinétique.

A-2-1 $\vec{L}_o = cte = \vec{L}_o(t=0) = \vec{0}$:

Le mouvement est rectiligne suivant l'axe Ox.

A-2-2 D'après la relation fondamentale, $m \frac{d^2l}{dt^2} + k(l-l_o) = 0$: $\frac{d^2l}{dt^2} + \frac{k}{m}(l-l_o) = 0$

$l = l_o + A \cos(\omega_o t) + B \sin(\omega_o t)$ avec $\omega_o = \sqrt{\frac{k}{m}}$.

A $t=0$, $l = 1.2l_o$ et $\frac{dl}{dt} = 0$ alors $A = 0.2l_o$ et $B = 0$: $l = l_o + 0.2l_o \cos(\omega_o t)$

et $l \in [0.8l_o, 1.2l_o]$

A-3-1 $\vec{L}_o = mr^2 \left(\frac{d\theta}{dt} \right) \vec{k}$

$\vec{L}_o = cte = \vec{L}_o(t=0) = ml_1^2 \omega \vec{k}$

A-3-2 La tension dérive d'une énergie potentielle, $E_p = \frac{1}{2}k(r-l_o)^2$

Il n'y a pas à tenir compte de l'énergie potentielle de pesanteur car le mouvement est dans un plan perpendiculaire à \vec{g} . E_p est constante.

Le poids et la réaction ne travaillent pas ici. Il y a conservation de l'énergie mécanique car la tension dérive d'une énergie potentielle.

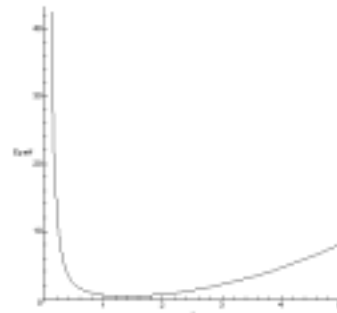
$$E_m = \frac{1}{2}ml_1^2\omega^2 + \frac{1}{2}k(l_1-l_o)^2$$

$$E_m = \frac{1}{2}m \left(\left(\frac{dr}{dt} \right)^2 + r^2 \left(\frac{d\theta}{dt} \right)^2 \right) + \frac{1}{2}k(r-l_o)^2.$$

$$A-3-3 \quad E_m = \frac{1}{2}m \left(\frac{dr}{dt} \right)^2 + \left(\frac{1}{2}m \frac{l_1^4 \omega^2}{r^2} + \frac{1}{2}k(r-l_o)^2 \right)$$

$$E_{p_{\text{eff}}} = \frac{1}{2}m \frac{l_1^4 \omega^2}{r^2} + \frac{1}{2}k(r-l_o)^2$$

NB : (G) = graphe.

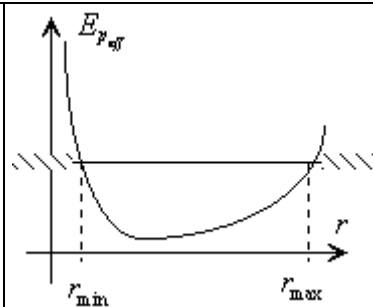


A-3-4 Si on superpose au graphe précédent, la droite $E_m = cte$, la trajectoire est toujours bornée entre 2 cercles de rayons r_{min} et r_{max} . La masse ne peut donc pas s'éloigner indéfiniment.

Autre méthode possible :

Comme L est constant, OM est borné donc M ne peut aller à l'infini

NB : Chaque correcteur appréciera une réponse à sa juste valeur.



A-3-5 La vitesse ne peut s'annuler à cause de la conservation du moment cinétique.

A-3-6 La distance r ne peut s'annuler à cause de la conservation du moment cinétique.

On peut le constater aussi sur la barrière de potentielle, $r > r_{min}$.

A-4-1 Si $r = l_1$ est constant, à cause de la conservation du moment cinétique, $\frac{d\theta}{dt} = \frac{ml_1^2\omega}{mr^2} = \omega$: le mouvement est circulaire uniforme.

A-4-2 Le mouvement circulaire correspond au minimum de $E_{p_{eff}}$ pour $r=l_1$.

Or, $\frac{dE_{p_{eff}}}{dr} = -m \frac{l_1^4 \omega^2}{r^3} + k(r-l_0) = 0$ pour $r=l_1$ alors $m \frac{l_1^4 \omega^2}{l_1^3} = k(l_1-l_0) : (k-m\omega^2)l_1 = kl_0 :$

$$l_1 = \frac{kl_0}{k-m\omega^2} \text{ si } \omega < \sqrt{\frac{k}{m}}.$$

Autre méthode :

On peut utiliser la base de Frenet : $m \frac{v^2}{l_1} = k(l_1-l_0) = m \frac{l_1^2 \omega^2}{l_1}$ alors $l_1 = \frac{kl_0}{k-m\omega^2}$

B - Etude dans un référentiel R' en rotation uniforme autour d'un axe fixe :

B-1 $\vec{f}_{ie} = m\omega^2 r \vec{e}_r$; $\vec{f}_{ic} = -2m\omega \vec{k} \wedge \frac{dr}{dt} \vec{e}_r = -2m\omega \frac{dr}{dt} \vec{e}_\theta$

B-2 $\vec{f}_{ie} = m\omega^2 r \vec{e}_r$ dérive d'une énergie potentielle $E_p = -\frac{1}{2} m\omega^2 OM^2 = -\frac{1}{2} m\omega^2 r^2$ + démonstration(D)

B-3 La force de Coriolis ne travaille pas car orthogonale à la vitesse.

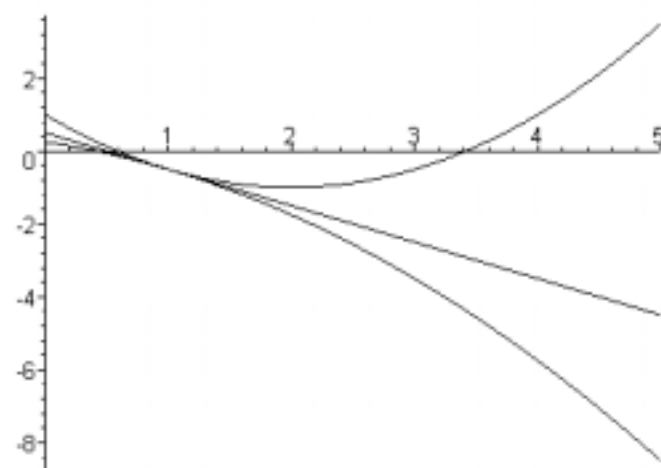
B-4 $E_p = \frac{1}{2} k(r-l_0)^2 - \frac{1}{2} m\omega^2 r^2$

$$\frac{dE_p}{dr} = k(r-l_0) - m\omega^2 r \text{ soit}$$

$$\frac{dE_p}{dr} = (k-m\omega^2)r - kl_0$$

On a 3 cas possibles :

- $\omega < \sqrt{\frac{k}{m}}$
- $\omega = \sqrt{\frac{k}{m}}$
- $\omega > \sqrt{\frac{k}{m}}$



B-5 L'équilibre correspond à $\frac{dE_p}{dr} = 0$ alors $k(l_2-l_0) = m\omega^2 l_2 : l_2 = \frac{kl_0}{k-m\omega^2}$ si $\omega < \sqrt{\frac{k}{m}}$.

L'équilibre est stable car on a un minimum d'énergie potentielle.

Le mouvement est circulaire uniforme.

B-6 On trouve $I_1=I_2$: les deux référentiels sont donc équivalents pour le mouvement circulaire et uniquement pour ce cas bien sûr !!

PHYSIQUE II : Transitoire thermique et électrique

C - Transitoire électrique :

C-1 $u_c(0^+) = 0$

car il y a conservation de l'énergie donc de la tension ;

$$i(0^+) = \frac{E}{R + R_g}$$

C-2 $E = (R + R_g)C \frac{du_c}{dt} + u_c$

C-3 $\tau = (R + R_g)C :$

temps caractéristique du transitoire : Après quelques τ , on atteint le régime permanent.

C-4 $u_c(t) = E \left(1 - \exp\left(-\frac{t}{\tau}\right) \right)$

C-5 $0.9E = E \left(1 - \exp\left(-\frac{t_1}{\tau}\right) \right)$ alors $t_1 = \ln(10)\tau = 2.3\tau$

C-6 (2) $e(t)$ et (1) $u_c(t)$

car il y a continuité de u_c

C-7 Couplage DC (AC "alternative current" étant réservé pour un signal sinusoïdal)

C-8 Au point P, on a un diviseur de tension : $u_c = \frac{RE}{R + R_o} = \frac{2}{3}E :$

$R = 2R_g : R_g = 50\Omega$

C-9 $E = 6V$

On mesure le temps de montée : $t_m = 4.5 * 0.1 = 0.45$ ms soit $\tau = 0.2$ ms

Compter 0 si on trace la tangente à l'origine (pas sur l'oscillo !!)(les candidats ont "normalement" fait des T_p et appris à utiliser l'oscilloscope).

Alors $C = \frac{\tau}{(R + R_g)} = 1.3\mu F$ (tolérance entre 1 et 1.5 μF)

C-10 Il faut que $T > 8 * 2 * 0.1 = 1.6$ ms soit $f < 625$ Hz.

C-11 On permute R et C ou on utilise la touche (-CH1) et (ADD) de l'oscilloscope ou on dispose d'oscilloscopes à entrée différentielle,.....

D - Transitoire thermique :

D-1 A pression constante, $\delta Q = dH$.

On peut aussi accepter $\delta Q = dU$ car les liquides sont quasiment incompressibles.

D-2 $dH = (\Gamma + mc)dT = \delta Q = -k(T - T_{ext})dt + \frac{U^2}{R}dt$

PS : On peut aussi admettre $dH = \delta Q + \delta W_e = -k(T - T_{ext})dt + \frac{U^2}{R}dt$

Alors $\frac{dT}{dt} + \frac{k}{\Gamma + mc}T = \frac{k}{\Gamma + mc} \left(\frac{U^2}{Rk} + T_{ext} \right)$ alors

$\tau = \frac{mc + \Gamma}{k}$ et $T_M = \frac{U^2}{Rk} + T_{ext}$

T_M est la température en régime permanent : l'effet joule compense alors les fuites thermiques.

D-3 $dH = (\Gamma + mc)dT = \delta Q = -k(T - T_{ext})dt$: $\frac{dT}{dt} + \frac{k}{\Gamma + mc}T = \frac{k}{\Gamma + mc}T_{ext}$

$$T(t) = T_{ext} + (T_o - T_{ext})\exp\left(-\frac{t}{\tau}\right)$$

D-4 On trace la tangente à l'origine : $\tau = 120s$ (tolérance entre 100 et 150 s)

et $T_{ext} = 20^\circ C$

Alors $k = \frac{mc + \Gamma}{\tau} = 7.38 \text{ W/K}$.

D-5 On lit $T_o = 45^\circ C$. $\Delta S_{calorimètre} = \int_{T_o}^{T_{ext}} \frac{\Gamma dT}{T} = \Gamma \ln\left(\frac{T_{ext}}{T_o}\right) = -4.09 \text{ J.K}^{-1}$

$$\Delta S_{eau} = \int_{T_o}^{T_{ext}} \frac{mcdT}{T} = mc \ln\left(\frac{T_{ext}}{T_o}\right) = -68.41 \text{ J.K}^{-1}$$

$$S_e = (mc + \Gamma) \frac{T_{ext} - T_o}{T_{ext}} = -75.56 \text{ J.K}^{-1}$$

$$S_c = \Delta S_{eau} + \Delta S_{calorimètre} - S_e = 3.05 \text{ J.K}^{-1} > 0$$

Cela traduit l'irréversibilité de la transformation.

PHYSIQUE III : Les champs électrostatiques et magnétostatiques

E- Champ électrostatique créée par une spire :

E-1 Champ sur l'axe :

E-1-1 Le plan passant par M et contenant le diamètre de l'anneau ne modifie pas globalement la distribution donc le champ \vec{E} est à l'intersection de tous ces plans donc \vec{E} est suivant Oz.

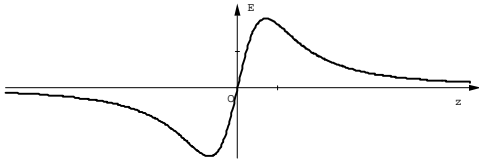
E-1-2 Une symétrie par rapport au plan de l'anneau transforme z en -z et E en -E donc $E(-z) = -E(z)$.

E-1-3 On projette suivant l'axe \overline{OM} .

$$\vec{E} \cdot \vec{k} = \int_{\text{spire}} \frac{1}{4\pi\epsilon_0} \lambda \frac{\overline{PM} \cdot \vec{k}}{PM^3} dl \quad \text{avec } PM = r = \text{cte}; \quad \overline{PM} \cdot \vec{k} = r \cos(\alpha) = \text{cte}, \quad dl = R \cdot d\theta$$

$$\vec{E} \cdot \vec{k} = \int_{\text{spire}} \frac{1}{4\pi\epsilon_0} \lambda \frac{\overline{PM} \cdot \vec{k}}{PM^3} dl = \int_0^{2\pi} \frac{\lambda \cos(\alpha)}{4\pi\epsilon_0 r^2} R d\theta \quad E = \vec{E} \cdot \vec{k} = \int_0^{2\pi} \frac{\lambda \cos(\alpha)}{4\pi\epsilon_0 r^2} R d\alpha = \frac{2\pi\lambda R \cos(\alpha)}{4\pi\epsilon_0 r^2}$$

$$E = \frac{\lambda R \cos(\alpha) \sin^2(\alpha)}{2\epsilon_0 R^2} = \frac{\lambda z R}{2\epsilon_0 \sqrt{z^2 + R^2} (z^2 + R^2)}; \quad E = \frac{\lambda z R}{2\epsilon_0 \sqrt{(z^2 + R^2)^3}} = \frac{zQ}{4\pi\epsilon_0 \sqrt{(z^2 + R^2)^3}}$$



E-1-4

E-2 Champ au voisinage de l'axe :

E-2-1 Le plan passant par l'axe Oz laisse la spire invariante donc E est appartient au plan de symétrie donc $E_\theta = 0$.

E-2-2 Toute rotation autour de l'axe Oz à r et z fixés ne modifie pas le champ \vec{E} donc E ne dépend pas de θ .

E-2-3 Le champ \vec{E} est à flux conservatif en l'absence de charge car d'après le théorème de Gauss :

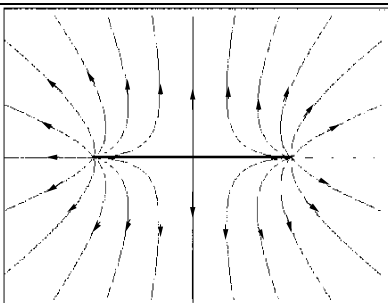
$$\phi = \iiint_{(S)} \vec{E} \cdot \vec{dS} = \frac{Q_{\text{int}}}{\epsilon_0} = 0$$

Le champ \vec{E} est toujours à circulation conservative.

E-2-4 Si on considère un cylindre de hauteur dz et de section circulaire alors

$$E(z+dz)\pi r^2 - E(z)\pi r^2 + 2\pi r dz E_r(r, z) = 0. \quad \text{Alors} \quad E_r(r, z) = -\frac{r}{2} \frac{dE_z(z)}{dz}$$

$$\frac{dE}{dz} = \frac{\lambda R}{2\epsilon_0} \left(\frac{1}{(z^2 + R^2)^{\frac{3}{2}}} - \frac{3}{2} \frac{2z^2}{(z^2 + R^2)^{\frac{5}{2}}} \right) \text{ soit } \frac{dE}{dz} = \frac{\lambda R (R^2 - 2z^2)}{2\epsilon_0 (z^2 + R^2)^{\frac{5}{2}}}; \quad E_r(r, z) = -\frac{r}{2} \frac{dE}{dz} = -\frac{\lambda r R (R^2 - 2z^2)}{4\epsilon_0 (z^2 + R^2)^{\frac{5}{2}}}$$



E-2-5-1

Les lignes de champ divergent de l'anneau.

E-2-5-2 A grande distance, la distribution est équivalente à une charge ponctuelle. On aura des droites issues de O.

E-2-5-3 Les équipotentielles tendent vers des sphères (ou des cercles en coupe)

E-2-5-4 Sur une équipotentielle, $V=cte$ alors $dV=0$ alors $\vec{E} \cdot d\vec{l} = 0$: \vec{E} est orthogonal à l'équipotentielle. On a une équipotentielle à 2 nappes donc le champ E doit être nul à l'intersection ce qui est le cas.

E-2-5-5 E_r est <0 si $z < \frac{R}{\sqrt{2}}$ et >0 au delà donc E s'approche de l'axe avant de s'éloigner.

F- Champ magnétostatique créé par une spire parcourue par un courant I :

F-1 Champ sur l'axe :

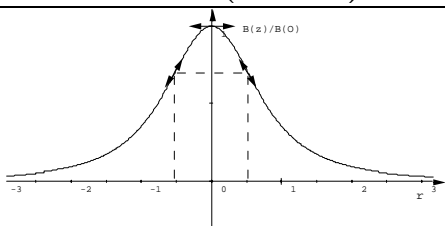
F-1-1 Si on fait une symétrie par rapport au plan P passant par l'axe du disque, celui-ci transforme le courant en son opposé alors \vec{B} est invariant par cette symétrie donc \vec{B} appartient à l'axe: $\vec{B} = B\vec{k}$

F-1-2 Une symétrie par rapport à la distribution des courants transforme z en -z sans modifier \vec{B} donc $B(z) = B(-z)$.

F-1-3 $\vec{B} \cdot \vec{k} = B = \frac{\mu_0 I}{4\pi} \oint_{\text{circuit}} \left(d\vec{l} \wedge \frac{\vec{u}}{r^2} \right) \cdot \vec{k}$. Or, $r^2 = R^2 + z^2$ est une constante dans l'intégration. $(d\vec{l} \wedge \vec{u}) \cdot \vec{k} = dl \sin \alpha$:

$$\sin \theta = \frac{R}{\sqrt{R^2 + z^2}} \text{ alors } B(z) = \int_0^{2\pi} \frac{\mu_0 I}{4\pi} \sin \alpha \frac{R d\phi}{R^2 + z^2} = \frac{\mu_0 I R^2}{2(\sqrt{R^2 + z^2})^3} = \frac{\mu_0 I}{2R} \sin^3 \alpha$$

$$B(z) = \frac{\mu_0 I}{2R} \sin^3 \alpha = B_0 \frac{1}{\left(\sqrt{1 + \frac{z^2}{R^2}} \right)^3} \text{ avec } \tan(\alpha) = \frac{R}{z}. \text{ Au centre, } \alpha = \frac{\pi}{2} \text{ donc } \boxed{B_0 = \frac{\mu_0 I}{2R} \vec{k}}$$

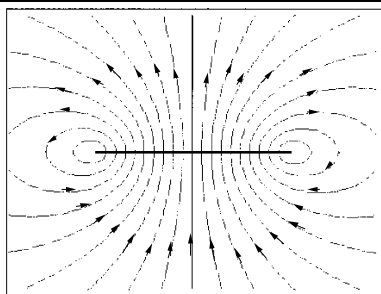


F-1-4

F-2 Champ au voisinage de l'axe :

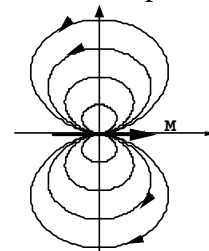
F-2-1 Le plan passant par l'axe Oz laisse la spire invariante mais transforme I en -I, comme B est antisymétrique appartient au plan de symétrie donc $B_\theta = 0$.

Toute rotation autour de l'axe Oz à r et z fixés ne modifie pas le champ \vec{B} donc B ne dépend pas de θ .



F-2-2

F-2-3 On obtient un dipôle magnétique :



F-2-4 Les lignes de champs électrostatiques divergent des sources alors que les lignes de champs magnétiques circulent autour des sources.

F-2-5 Le champ \vec{B} est toujours à flux conservatif et au voisinage de l'axe où il n'y a pas de courant, \vec{B} est à

circulation conservative. On a les mêmes propriétés que pour le champ \vec{E} donc les mêmes conclusions.

$$B_r(r, z) = -\frac{r}{2} \frac{dB_z(z)}{dz}$$

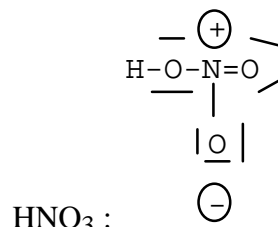
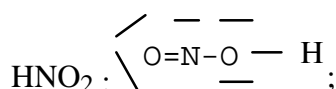
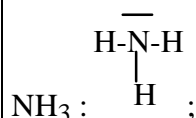
$$\text{F-2-6 } B_r(r, z) = -\frac{r}{2} \frac{dB_z(z)}{dz} = +B_o \frac{3zr}{2R^2} \frac{1}{\left(\sqrt{1 + \frac{z^2}{R^2}}\right)^5}$$

CHIMIE : Autour de l'ammoniac

I- Structure

I-1 $Z=7 : N(1s)^2(2s)^2(2p)^3$

I-2



I-3 molécule	p+q	Polyèdre de coordination XpEq	formule structurale	forme de la molécule AXm
NH ₃	4	tétraèdre	AX3E1	pyramide à base triangulaire
HNO ₃	3	triangle	AX3E0	triangulaire équilatérale
HNO ₂	3	équilatéral	AX2E1	Coudée à environ 120°

I-4 Contrairement au phosphore, l'azote qui appartient à la deuxième période doit vérifier la règle de l'octet. NF₆⁻ ne peut donc exister.

II - Les propriétés acido-basiques de NH₃

II-1 $\text{NH}_3 + \text{H}_3\text{O}^+ \rightleftharpoons \text{NH}_4^+ + \text{H}_2\text{O}$:

La constante d'équilibre est $K = 10^{9.2} \gg 1$: La réaction est quasiment totale.

II-2 Les deux pentes sont >0 mais la seconde pente est plus élevée car la mobilité de H₃O⁺ est plus élevée que NH₄⁺.

II-3 A l'équivalence, C_aV_a = C_bV_b alors comme V_a = 9 mL alors $C_b = 0,09 \text{ mol.L}^{-1}$

III - Les propriétés complexantes de NH₃: Mesure de log(β₄) pour Cu(NH₃)₄²⁺:

$$\text{III-1 } \beta_1 = \frac{[\text{Cu}(\text{NH}_3)^{2+}]}{[\text{NH}_3][\text{Cu}^{2+}]} ; \beta_2 = \frac{[\text{Cu}(\text{NH}_3)_2^{2+}]}{[\text{NH}_3]^2[\text{Cu}^{2+}]} ; \beta_3 = \frac{[\text{Cu}(\text{NH}_3)_3^{2+}]}{[\text{NH}_3]^3[\text{Cu}^{2+}]} ; \beta_4 = \frac{[\text{Cu}(\text{NH}_3)_4^{2+}]}{[\text{NH}_3]^4[\text{Cu}^{2+}]}$$

$$K_{d1} = \frac{[\text{NH}_3][\text{Cu}^{2+}]}{[\text{Cu}(\text{NH}_3)^{2+}]} ; K_{d2} = \frac{[\text{NH}_3][\text{Cu}(\text{NH}_3)^{2+}]}{[\text{Cu}(\text{NH}_3)_2^{2+}]} ; K_{d3} = \frac{[\text{NH}_3][\text{Cu}(\text{NH}_3)_2^{2+}]}{[\text{Cu}(\text{NH}_3)_3^{2+}]} ; K_{d4} = \frac{[\text{NH}_3][\text{Cu}(\text{NH}_3)_3^{2+}]}{[\text{Cu}(\text{NH}_3)_4^{2+}]}$$

$$\text{alors } K_{d1} = \frac{1}{\beta_1} ; K_{d2} = \frac{\beta_1}{\beta_2} ; K_{d3} = \frac{\beta_2}{\beta_3} ; K_{d4} = \frac{\beta_3}{\beta_4}$$

$$\text{alors } pK_{d1} = \log(\beta_1) = 4.2 ; pK_{d2} = \log(\beta_2) - \log(\beta_1) = 3.4 ; pK_{d3} = \log(\beta_3) - \log(\beta_2) = 3$$

$$pK_{d4} = \log(\beta_4) - \log(\beta_3) = 2$$

	$Cu(NH_3)_4^{2+}$	$Cu(NH_3)_3^{2+}$	$Cu(NH_3)_2^{2+}$	$Cu(NH_3)^{2+}$	Cu^{2+}	
						→
III-2	2	3	3.4	4.2		pNH_3
III-3-1 L'ammoniaque est en excès et les espèces intermédiaires ne sont jamais majoritaires donc on a la forme la plus stable : $Cu(NH_3)_4^{2+}$						
$Cu^{2+} + 4NH_3 \rightleftharpoons Cu(NH_3)_4^{2+}$						
III-3-2 Attention : On a une dilution d'un facteur 2 lors du mélange : La réaction étant fortement avancée :						
	Cu^{2+}	$+ 4NH_3$	\rightleftharpoons	$Cu(NH_3)_4^{2+}$		
CI	0,005	0,5				
C_{eq}	ϵ	0,48		0,005		
$[NH_3] = 0,48 mol.L^{-1}$; $[Cu(NH_3)_4^{2+}] = 0,005 mol.L^{-1}$; $[Cu^{2+}] = \frac{[Cu(NH_3)_4^{2+}]}{\beta[NH_3]^4} = 2.36.10^{-14} mol/L$						
III-4-1 $E = E^\circ(Cu^{2+}/Cu) + 0,03 \log([Cu^{2+}])$						
Alors, $U = E^\circ(Cu^{2+}/Cu) + 0,03 \log([Cu^{2+}]_A) - E^\circ(Cu^{2+}/Cu) + 0,03 \log([Cu^{2+}]_B)$						
$U = 0,03 \log\left(\frac{[Cu^{2+}]_A}{[Cu^{2+}]_B}\right) = 349 mV$						
III-4-2 (+) $Cu Cu^{2+} Cu(NH_3)_4^{2+} Cu(-)$						
III-4-3 A la cathode (+) : $Cu^{2+} + 2e^- \rightleftharpoons Cu$						
A l'anode (-) : $Cu + 4NH_3 \rightleftharpoons Cu(NH_3)_4^{2+} + 2e^-$						
Le bilan : $Cu^{2+} + 4NH_3 \longrightarrow Cu(NH_3)_4^{2+}$						
III-4-4 Le pont salin assure la conduction des ions.						

IV - Les propriétés thermodynamiques de NH₃:

La réaction : $N_2 + 3 H_2 \rightleftharpoons 2 NH_3$	
IV-1	$\Delta_r H^\circ(298) = 2\Delta_f H^\circ(NH_3) = -92,42 kJ.mol^{-1}$
IV-2	$\Delta_r H^\circ(770) = \Delta_r H^\circ(298) + \int_{298}^{770} (2Cp_{NH_3} - Cp_{N_2} - 3Cp_{H_2}) dT$
	$\Delta_r H^\circ(770) = \Delta_r H^\circ(298) + (2Cp_{NH_3} - Cp_{N_2} - 3Cp_{H_2})(770 - 298)$
	$\Delta_r H^\circ(1000) = -120.85 kJ/mol$
La réaction est exothermique.	
IV-3	$4NH_3 + 5O_2 \longrightarrow 4NO + 6H_2O$
IV-4-1 La probabilité de collision entre 3 molécules est nulle.	
IV-4-2 Le mécanisme est par stade car l'intermédiaire créé à l'étape i et consommé à l'état i+1	
IV-4-3	$\frac{d[NO_2]}{dt} = 2k_2[N_2O_2][O_2]$. Or, $\frac{[N_2O_2]}{[NO]^2} = \frac{k_1}{k_{-1}}$ alors $v = k_2 \frac{k_1}{k_{-1}} [NO]^2 [O_2]$: ordre 3